

**I.Є.Барчій<sup>1\*</sup>, В.О.Товт<sup>1</sup>, М.П'ясецькі<sup>2</sup>,  
А.О.Федорчук<sup>3</sup>, А.І.Погодін<sup>1</sup>, М.Й.Філєп<sup>1</sup>, І.П.Стерчо<sup>1</sup>**

## **КВАЗІПОТРІЙНА СИСТЕМА $Tl_2Se-TlInSe_2-Tl_4P_2Se_6$**

<sup>1</sup> Ужгородський національний університет, вул. Підгірна, 46, Ужгород, 88000, Україна

<sup>2</sup> Ченстоховський університет імені Яна Длугоша, вул. Армії Крайової, 13/15, Ченстохова, 42200, Польща

<sup>3</sup> Львівський національний університет ветеринарної медицини та біотехнології, вул. Пекарська, 50, Львів, 79010, Україна

\* e-mail: *i-barchiy@ukr.net*

Вперше методами фізико-хімічного аналізу (ДТА, РФА, МСА) досліджено фазові рівноваги в квазіпотрійній системі  $Tl_2Se-TlInSe_2-Tl_4P_2Se_6$ , побудовано просторову діаграму стану, проекцію поверхні ліквідусу на концентраційний трикутник. Встановлено, що система характеризується евтектичним типом взаємодії з утвореннямграничних твердих розчинів на основі вихідних компонентів. З кристалохімічних позицій розглянуто закономірності зміни типу хімічного зв'язку при переході від бінарного  $Tl_2Se$  до тернарних сполук  $TlInSe_2$ ,  $Tl_4P_2Se_6$  та механізму формування твердих розчинів.

Ключові слова: селенодифосфати, фазові рівноваги, діаграма стану, кристалічна структура, тверді розчини.

**ВСТУП.** Стрімкий розвиток електронної технології потребує від науковців, які працюють в галузі неорганічного матеріалознавства, створення нових матеріалів з комплексом прогнозованих властивостей. Вирішення цих завдань базується на одержанні нових речовин шляхом цілеспрямованої зміни складу ізо- та гетеровалентним заміщенням складових структури, формування твердих розчинів, композитних евтектичних (перитектичних) з'єднань, удосконаленням технологічних режимів синтезу. Вивчення фізико-хімічної взаємодії багатокомпонентних систем дозволяє з наукових позицій встановити закономірності фазоутворення в залежності від складу та температури, визначити граничні концентраційні межі твердих розчинів, механізми їх утворення, знайти координати нон-, моноваріантних перетворень, підібрати раціональні склади вихідної ростової шихти і технологічні умови одержання якісних монокристалів, розглянути закономірності склад – кристалічна будова – властивості.

Складні халькогенідні матеріали, зокрема

талійвмісні селеніди типу  $Tl_4B^{IV}Se_3$ ,  $TlB^{III,V}Se_2$ ,  $Tl_9B^VSe_6$  ( $B^{III}$  – In,  $B^{IV}$  – Ge, Sn, Pb,  $B^V$  – Sb, Bi), знайшли широке практичне використання в якості робочих елементів у приладах для оптоелектроніки, фотоелектроніки, термоелектрики [1 – 5]. Сполуки типу  $M_2P_2Se_6$  ( $M$  – Ag, Cu), похідні від  $Sn_2P_2S_6$  [6], завдяки своїй кристалічній структурі володіють перспективними сегнетоелектричними, п'єзoeлектричними, електрооптичними властивостями [7–13]. Гетеровалентне заміщення катіонів  $2M^{2+}$  у складі сполук  $M_2P_2Se_6$  на чотири  $4M^{1+}$  повинне приводити до деформації кристалічної структури, зміни величини дипольного моменту і, відповідно, електрофізичних властивостей.

З огляду на наведене вище, дослідження фазових рівноваг у квазіпотрійній системі  $Tl_2Se-TlInSe_2-Tl_4P_2Se_6$  (вторинна від загальної системи  $Tl_2Se-In_2Se_3$  – “ $P_2Se_4$ ”), вивчення характеристики процесів фізико-хімічної взаємодії, кристалоструктурних особливостей проміжних сполук є актуальним як з теоретичної точки зору, так і стосовно практичного використання.

© I.Є.Барчій, В.О.Товт, М.П'ясецькі, А.О.Федорчук, А.І.Погодін, М.Й.Філєп, І.П.Стерчо, 2019

Система  $Tl_2Se$ – $In_2Se_3$ –“ $P_2Se_4$ ” характеризується утворенням проміжних сполук:  $TlInSe_2$  плавиться конгруентно при 1023 К,  $TlIn_5Se_8$  утворюється за перитектичною реакцією  $L + In_2Se_3 \leftrightarrow TlIn_5Se_8$  при 1029 К (система  $Tl_2Se$ – $In_2Se_3$ ) [14],  $Tl_4P_2Se_6$  з конгруентним характером плавлення при 758 К ( $Tl_2Se$ –“ $P_2Se_4$ ”),  $In_4(P_2Se_6)_3$  утворюється за синтетичною реакцією  $L_1 + L_2 \leftrightarrow In_4(P_2Se_6)_3$  при 880 К ( $In_2Se_3$ –“ $P_2Se_4$ ”) [15],  $TlInP_2Se_6$  формується на перетині перерізів  $Tl_4P_2Se_6$ – $In_4(P_2Se_6)_3$  та  $TlInSe_2$ –“ $P_2Se_4$ ”. Тріангуляція системи  $Tl_2Se$ – $In_2Se_3$ –“ $P_2Se_4$ ” [16] показала, що вона поділяється квазібінарними перерізами  $In_2Se_3$ – $TlInP_2Se_6$ ,  $TlInSe_2$ – $Tl_4P_2Se_6$ ,  $TlInP_2Se_6$ – $Tl_4P_2Se_6$ ,  $TlInSe_2$ – $TlInP_2Se_6$ ,  $TlInP_2Se_6$ – $In_4(P_2Se_6)_3$  та  $TlInP_2Se_6$ –“ $P_2Se_4$ ” на шість вторинних квазіпотрійних підсистем, серед яких квазіпотрійна система  $Tl_2Se$ – $TlInSe_2$ – $Tl_4P_2Se_6$  є предметом нашого дослідження.

**ЕКСПЕРИМЕНТ ТА ОБГОВОРЕННЯ РЕЗУЛЬТАТИВ.** Вихідні тернарні сполуки  $TlInSe_2$ ,  $Tl_4P_2Se_6$  одержували прямим однотемпературним методом шляхом сплавлення стехіометричних кількостей попередньо синтезованого талій (І) селеніду з елементарними індієм, фосфором та селеном у вакуумованих до 0.13 Па кварцових ампулах. Використовували елементарні компоненти високого ступеня чистоти (не менше 99.99 %): талій марки Tl-000, індій ос.ч. In-7N, фосфор ос.ч. 9-3, селен ос.ч. 17-3. Максимальна температура синтезу становила: для  $TlInSe_2$  – 1073,  $Tl_4P_2Se_6$  – 853 К, витримка при максимальних температурах – 72 години. Лінійність процесів нагрівання та охолодження (швидкість 50 К/год) контролювали програмованим пристроєм РІФ-101. Для вивчення фазових рівноваг у квазіпотрійній системі  $Tl_2Se$ – $TlInSe_2$ – $Tl_4P_2Se_6$  з вихідних сполук було синтезовано 26 подвійних та потрійних сплавів, склад яких підбирається для встановлення координат нонваріантних процесів, границь взаємної розчинності компонентів та проведення математичного моделювання фізико-хімічної взаємодії. Максимальна температура синтезу та час витримки сплавів становили відповідно 1073 К та 48 годин, швидкість нагрівання та

охолодження 250 К/год. Для приведення сплавів у рівноважний стан при 573 К проводили гомогенізуючий відпал протягом 336 годин з наступним загартуванням у “льодяній воді”.

Ідентифікацію складних сполук та дослідження сплавів системи здійснювали методами диференціального термічного (ДТА) (хромель-алюмелева термопара, точність визначення 5 К, автоматична фіксація процесів на комп’ютері), рентгенівських фазового (РФА) (ДРОН-3, ДРОН 4-13,  $CuK_\alpha$ , Ni-фільтр) та структурного (PCA) (Guinier Huber G670 за методом Гіньє на проходження випромінювання  $CuK_{\alpha 1}$ ), мікроструктурного (МСА) (металургійний мікроскоп Lomo Metam R-1) аналізів. При встановленні фазового складу сплавів використовували комплекс програм Powder Cell 2.1, кристалохімічних розрахунків – WinCSD [17]. Для математичної побудови проекції поверхні ліквідусу моделювали фізико-хімічну взаємодію у багатокомпонентних системах за симплексним методом [18, 19].

На основі результатів ДТА, РФА, МСА, математичного моделювання та термічних досліджень [14, 20] вперше побудовані просторова діаграма стану квазіпотрійної системи  $Tl_2Se$ – $TlInSe_2$ – $Tl_4P_2Se_6$  (рис. 1), проекція ліквідусу на концентраційний трикутник (рис. 2). Температури конгруентного плавлення сполук складають  $Tl_2Se$  (655 К),  $TlInSe_2$  (1029 К),  $Tl_4P_2Se_6$  (789 К), відповідають вершинам тригональної призми А, В, С. Для сполуки  $Tl_4P_2Se_6$ , вище за температури гомогенізуючого відпала 573 К, зафіковані поліморфні перетворення при 689 К (С”) та 772 К (С’). Сторони квазіпотрійної системи  $Tl_2Se$ – $TlInSe_2$ – $Tl_4P_2Se_6$  утворюють три системи евтектичного типу з формуванням граничних твердих розчинів на основі складних селенідів:  $\alpha$  – на основі  $Tl_2Se$ ,  $\beta$  –  $TlInSe_2$ ,  $\gamma$ ,  $\delta$ ,  $\varepsilon$  – на основі  $l_{tm}$ -,  $m_{tm}$ - та  $h_{tm}Tl_4P_2Se_6$  (де  $l_{tm}$ -,  $m_{tm}$ - та  $h_{tm}$ - відповідно низько-, середньо- та високотемпературні модифікації). В системі  $Tl_2Se$ – $TlInSe_2$  відбувається бінарний нонваріантний евтектичний процес  $L \leftrightarrow Tl_2Se + TlInSe_2$  ( $e_1 = 614$  К) [17]; у системі  $Tl_2Se$ – $Tl_4P_2Se_6$  (часткова від  $Tl_2Se$ –“ $P_2Se_4$ ”) – нонваріантний евтектичний процес  $L \leftrightarrow Tl_2Se +$

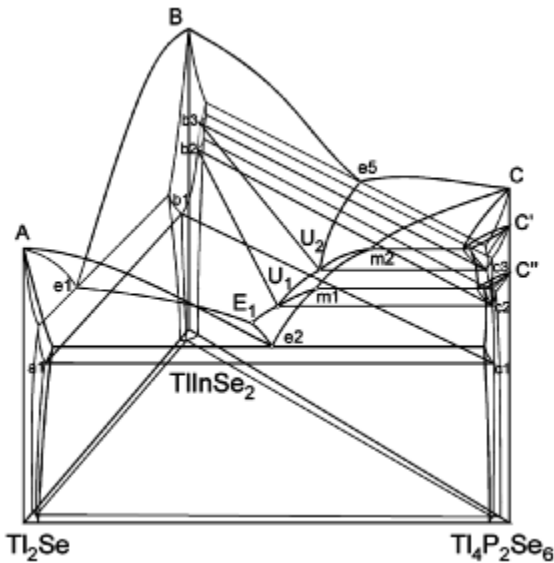


Рис. 1. Просторова діаграма стану квазіпотрійної системи  $Tl_2Se-TlInSe_2-Tl_4P_2Se_6$ .

$ltmTl_4P_2Se_6$  ( $e2 - 610$  K), метатектичний процес  $htmTl_4P_2Se_6 \leftrightarrow L + mtmTl_4P_2Se_6$  ( $m2 - 47$  K), метатектичний процес  $mtmTl_4P_2Se_6 \leftrightarrow L + ltmTl_4P_2Se_6$  ( $m1 - 40$  K); у системі  $TlInSe_2-Tl_4P_2Se_6$  (квазібнанарний переріз загальної трикомпонентної системи  $Tl_2Se-In_2Se_3-P_2Se_4$ ) — нонваріантний евтектичний процес  $L \leftrightarrow htmTl_4P_2Se_6 + TlInSe_2$  ( $e5 - 776$  K) [20].

Ліквідус системи  $Tl_2Se-TlInSe_2-Tl_4P_2Se_6$  (рис. 2) утворюють поля первинних кристалізацій  $\alpha$ -фази  $Tl_2Se$ - $e1$ - $E1$ - $e2$ - $Tl_2Se$ ,  $\beta$ -фази  $TlInSe_2$ - $e5$ - $U2$ - $U1$ - $E1$ - $TlInSe_2$ ,  $\gamma$ -фази  $m1$ - $U1$ - $E1$ - $e2$ - $m1$ ,  $\delta$ -фази  $m2$ - $U2$ - $U1$ - $m1$ - $m2$ ,  $\varepsilon$ -фази  $Tl_4P_2Se_6$ - $e5$ - $U2$ - $m2$ - $Tl_4P_2Se_6$ . Площа  $a1b1c1$  відповідає нонваріантному евтектичному перетворенню  $L Tl_2Se + TlInSe_2 + ltmTl_4P_2Se_6$  (539 K). Дві поверхні характеризуються проходженням перитектичних процесів на основі поліморфних перетворень тернарної сполуки  $Tl_4P_2Se_6$  —  $U2b3c3U2$  ( $L + htmTl_4P_2Se_6 \leftrightarrow mtmTl_4P_2Se_6 + TlInSe_2$ , 693 K) та  $U1b2c2U1$  ( $L + mtmTl_4P_2Se_6 \leftrightarrow ltmTl_4P_2Se_6 + TlInSe_2$ , 620 K).

$ltmTl_4P_2Se_6 + TlInSe_2$ , 620 K). Система  $Tl_2Se-TlInSe_2-Tl_4P_2Se_6$  характеризується проходженням моноваріантних евтектичних процесів:  $L \leftrightarrow htmTl_4P_2Se_6 + TlInSe_2$  ( $e5-U2$ , 776–693 K),  $L \leftrightarrow Tl_2Se + TlInSe_2$  ( $e1-E1$ , 614–539 K),  $L \leftrightarrow Tl_2Se + ltmTl_4P_2Se_6$  ( $e2-E1$ , 610–539 K); моноваріантних перитектичних процесів:  $L + mtmTl_4P_2Se_6 \leftrightarrow ltmTl_4P_2Se_6$  ( $m1-U1$ , 640–620 K),  $L + htmTl_4P_2Se_6 \leftrightarrow mtmTl_4P_2Se_6$  ( $m2-U2$ , 747–693 K),  $L + mtmTl_4P_2Se_6 \leftrightarrow TlInSe_2$  ( $U2-U1$ , 693–620 K),  $L + ltmTl_4P_2Se_6 \leftrightarrow TlInSe_2$  ( $U1-E1$ , 620–539 K). Лінії моноваріантних рівноваг перетинаються в трьох точках:  $U2$  — нонваріантний перитектичний процес  $L + htmTl_4P_2Se_6 \leftrightarrow TlInSe_2 + mtmTl_4P_2Se_6$  (12 % мол.  $Tl_2Se$ , 20 % мол.  $TlInSe_2$ , 68 % мол.  $Tl_4P_2Se_6$ , 693 K),  $U1$  — нонваріантний перитектичний процес  $L + mtmTl_4P_2Se_6 \leftrightarrow TlInSe_2 + ltmTl_4P_2Se_6$  (38 % мол.  $Tl_2Se$ , 9 % мол.  $TlInSe_2$ , 53 % мол.  $Tl_4P_2Se_6$ , 620 K),  $E1$  — нонваріантний евтектичний процес  $L \leftrightarrow Tl_2Se + TlInSe_2 + ltmTl_4P_2Se_6$  (47 % мол.  $Tl_2Se$ , 7 % мол.  $TlInSe_2$ , 46 % мол.  $Tl_4P_2Se_6$ , 539 K).

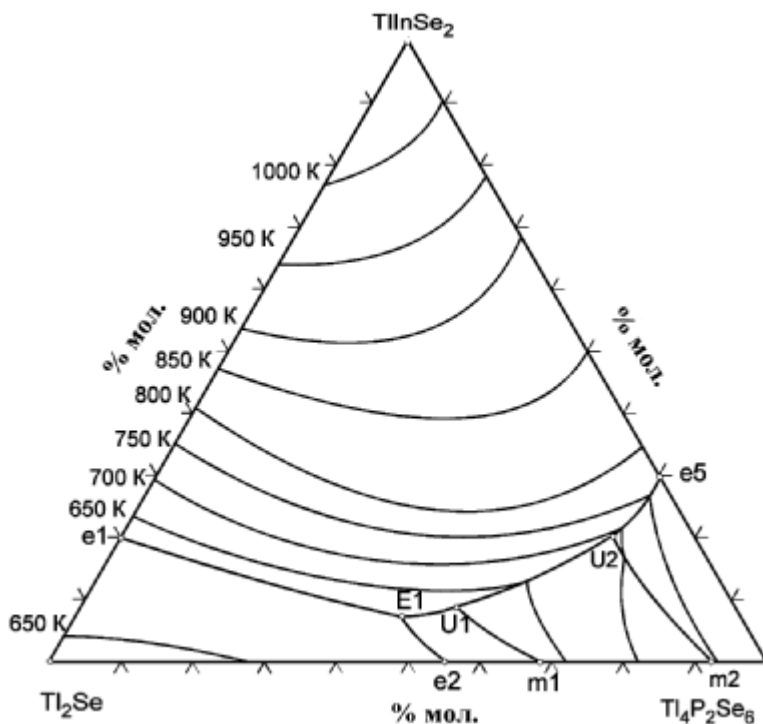


Рис. 2. Проекція поверхні ліквідусу на концентраційний трикутник квазіпотрійної системи  $Tl_2Se-TlInSe_2-Tl_4P_2Se_6$ .

Таблиця 1

**Кристалохімічні параметри сполук  $Tl_2Se$ ,  $TlInSe_2$ ,  $Tl_4P_2Se_6$**

Сполука	Сингонія, пр.гр.	Параметри кристалічної гратки
$Tl_2Se$ [23]	Тетрагональна, $P4/n$	$a = 8.5400$ ; $c = 12.3800 \text{ \AA}$
$TlInSe_2$ [20]	Моноклінна, $P12_1/c1$	$a = 12.239(2)$ , $b = 9.055(2)$ , $c = 12.328(2) \text{ \AA}$ , $\beta = 98.83(1)$
$Tl_4P_2Se_6$ [24]	Тетрагональна, $I4/mcm$	$a = 8.06413(4)$ , $c = 6.83310(4) \text{ \AA}$

Кристалоструктурні дослідження складних селенідів  $TlInSe_2$ ,  $Tl_4P_2Se_6$  проводили методом порошку. Уточнення структурних параметрів здійснювали методом Рітвельда, шляхом порівняння теоретично розрахованого профілю дифрактограми з експериментальним (табл. 1). В якості вихідної моделі для сполуки  $Tl_4P_2Se_6$  використовували модель, взяту з роботи [21], для сполуки  $TlInSe_2$  розрахунки

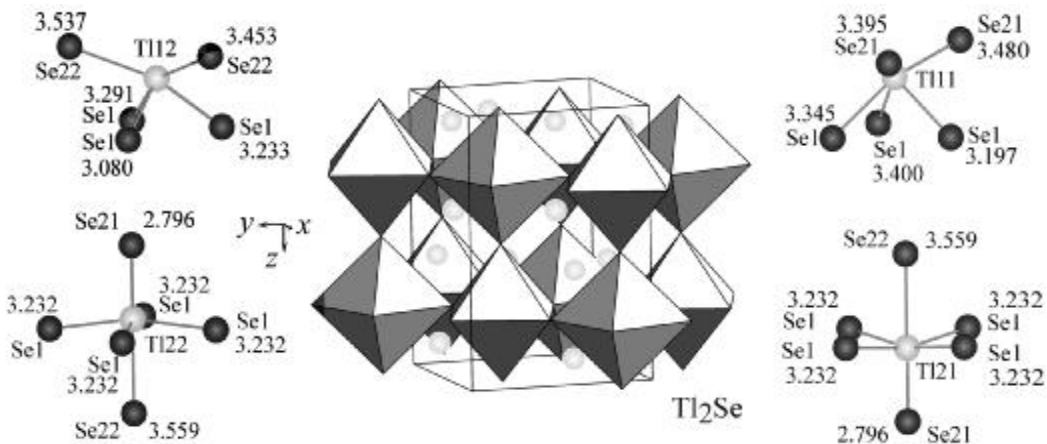


Рис. 3. Укладання октаедрів  $[TlSe_6]$ , координаційне оточення атомів талію у структурі  $Tl_2Se$  та міжатомні відстані  $Tl-Se$  [23].

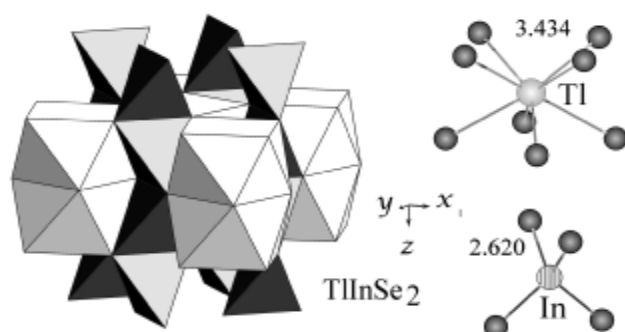


Рис. 4. Укладання тетраедрів  $[InSe_4]$ , тетрагональних антипризм  $[TlSe_8]$  у структурі сполуки  $TlInSe_2$  та міжатомні відстані  $Tl-Se$ ,  $In-Se$  [20].

Утворення нових складних сполук в системі не виявлено. Найбільш протяжні області гомогенності встановлено для сполук  $TlInSe_2$  та  $Tl_4P_2Se_6$  (5–8 % мол.).

проводили у наближенні до структурного типу  $TlGaTe_2$  [22].

У структурі  $Tl_2Se$  (структурний тип  $Tl_5Se_3$ ) можна виділити два сорти атомів талію (рис. 3). Катіонну підгратку утворюють іони  $Tl^{1+}$  та  $Tl^{2+}$ , які координують навколо себе іони  $Se^{2-}$  (розташовані відповідно у вершинах сильно деформованого та дефектного  $-1$  октаедрів).  $Tl^{1+}$  та  $Tl^{2+}$  виступають в якості центрального аніоноутворюючого атома і розташовуються всередині октаедрів  $[TlSe_6]$ .

Структуру сполуки  $TlInSe_2$  можна розглядати як похідну структури бінарного  $TlSe$ , в якій шляхом ізовалентного заміщення іони  $In^{3+}$  займають позиції  $Tl^{3+}$  у центрах тетраедрів з іонів  $Se^{2-}$  (рис. 4). Катіони  $Tl^{+}$  координують навколо себе вісімома зв'язками з  $Se^{2-}$  аніонні групи  $[InSe_4]^{5-}$ .

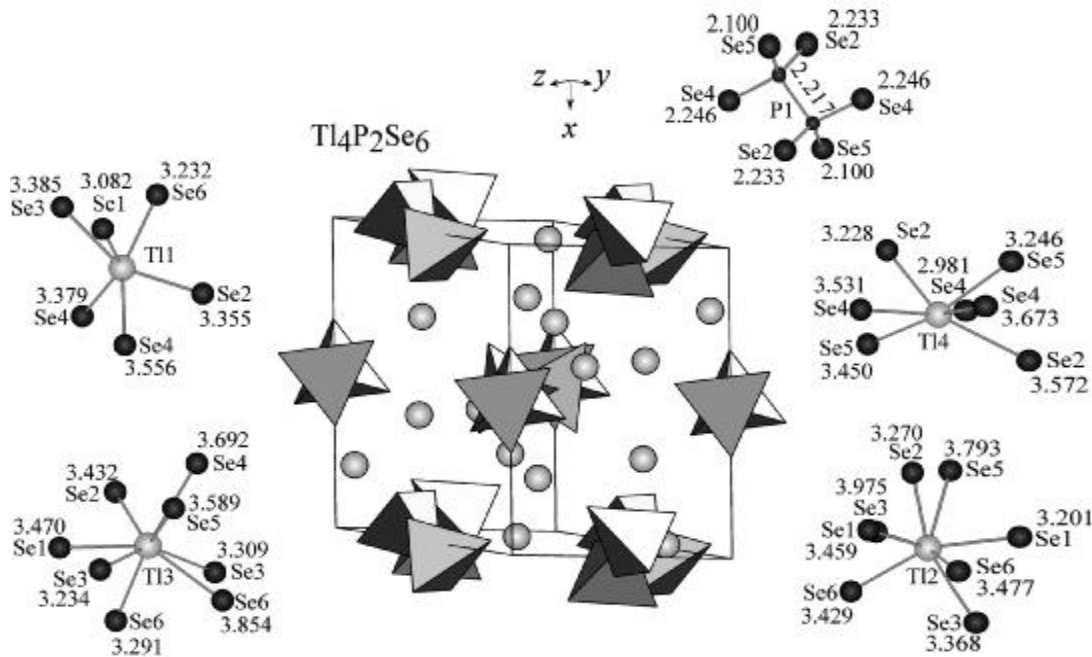


Рис. 5. Укладання зрощених тетраедрів аніонної групи  $[P_2Se_6]^{4-}$  у структурі сполуки  $Tl_4P_2Se_6$  та міжатомні відстані  $Tl-Se$  [24].

Кристалічна структура  $Tl_4P_2Se_6$  формується атомами аніонної групи  $[P_2Se_6]^{4-}$ , між якими у тетраедричних пустотах розташовані катіони  $Tl^+$  (рис. 5). Аніонна група  $[P_2Se_6]^{4-}$  утворюється парою атомів P—P, кожний з яких зв'язаний з трьома іонами  $Se^{2-}$  (розташовуються у вершинах зрощених тетраедрів).

Кристалохімічні дослідження дозволили дати оцінку типу хімічного зв'язку у складних селенідах шляхом співставлення розрахункових та експериментальних значень міжатомних відстаней (табл. 2). Аналіз результатів вказує на те, що для бінарного талій (І) селеніду характерний змішаний тип хімічного зв'язку — іонно-ковалентний. Довжина зв'язку  $Tl-Se$  наближається до суми іонних радіусів  $Tl^+$  і  $Se^{2-}$ , що свідчить про перевагу іонної складової.

При переході від бінарного  $Tl_2Se$  до тернарної сполуки  $Tl_4P_2Se_6$ , завдяки транс-впливу у системі зв'язків  $Tl-Se-P$ , збільшується поляризація зв'язків  $Tl-Se$ , що вказує на зростання вкладу іонної складової хімічного зв'язку. Протилежна картина спостерігається для зв'язків  $In-Se$  у сполуці  $TlInSe_2$ , поляризація яких

#### Таблиця 2

Розрахункові та експериментальні значення міжатомних відстаней у складних селенідах  $Tl_2Se$ ,  $TlInSe_2$ ,  $Tl_4P_2Se_6$

Сполука	$Tl-Se$	$In-Se$	$P-Se$
Експериментальні відстані, Å			
$Tl_2Se$	3.11–3.82		
$TlInSe_2$	3.43	2.62	
$Tl_4P_2Se_6$	2.98–3.98		2.10–2.25
Розрахункові відстані, Å [25]			
$\sum r_{cov}$	2.64	2.60	2.22
$\sum r_{ion}$	3.38	2.72	2.35

П р и м і т к а. Міжатомні відстані представлені між катіонами  $Tl^+$ ,  $In^{3+}$  та  $Se^{2-}$  аніонних груп.  $\sum r_{cov}$  і  $\sum r_{ion}$  — відповідно сума ковалентних та іонних радіусів для кристалів.

зменшується (для бінарного  $In_2Se_3$  зв'язок  $In-Se$  складає 2.75–3.52 Å), що приводить до підвищення вкладу ковалентної складової.

Т а б л и ц я 3

**Розрахунок кристалохімічних формульних складів сполук  $TlInSe_2$ ,  $Tl_4P_2Se_6$  і твердих розчинів на її основі**

Фаза	Кристалохімічний склад
$(Tl_4P_2Se_6)_{0.95}(Tl_2Se)_{0.05}$	$Tl_{3900}[P_2Se_6]_{950}[ ]_{100} \leftrightarrow Tl_{3900}P_{1900}Se_{5700}[ ]_{100}$
Стехіометрія $Tl_4P_2Se_6$	$Tl_{4000}[P_2Se_6]_{1000} \leftrightarrow Tl_{4000}P_{2000}Se_{6000}$
$(Tl_4P_2Se_6)_{0.95}(TlInSe_2)_{0.05}$	$Tl_{3850}In_{50}[P_2Se_6]_{950}Se_{100} \leftrightarrow Tl_{3850}In_{50}P_{1900}Se_{5800}$
$(TlInSe_2)_{0.95}(Tl_4P_2Se_6)_{0.05}$	$Tl_{523}In_{432}P_{45}Se_{1000}$
Стехіометрія $TlInSe_2$	$Tl_{500}In_{500}Se_{1000}$
$(TlInSe_2)_{0.95}(Tl_2Se)_{0.05}$	$Tl_{525}In_{475}Se_{975}[ ]_{25}$

Розглянемо механізм утворення твердих розчинів на основі сполук  $TlInSe_2$ ,  $Tl_4P_2Se_6$  з позицій кристалохімічних формульних складів [26].

Для сполуки  $TlInSe_2$  стехіометричного складу кристалохімічна формула відповідає  $Tl_{500}In_{500}Se_{1000}$ . На 1000 атомів (500 ат.  $Tl + 500$  ат.  $In$ ), які формують катіонну підгратку, припадають 1000 ат.  $Se$  в аніонній підгратці (табл. 3). При розчиненні 5 % мол.  $Tl_2Se$  у матричній структурі  $TlInSe_2$  одержано склад твердого розчину, який описується кристалохімічною формулою  $Tl_{525}In_{475}Se_{975}[ ]_{25}$ . У катіонній підгратці завдяки ізовалентній заміні  $In^{3+}$  на  $3Tl^+$  загальне число атомів залишається сталим (525 ат.  $Tl + 475$  ат.  $In$ ). В аніонній підгратці число атомів  $Se$  менше, ніж для стехіометричного складу, що вказує на утворення вакансій. Твердий розчин утворюється за механізмом заміщення у катіонній підгратці та віднімання у аніонній підгратці. Кристалохімічний склад твердого розчину  $(TlInSe_2)_{0.95}(Tl_4P_2Se_6)_{0.05}$  описується формулою  $Tl_{523}In_{432}P_{45}Se_{1000}$ . Число атомів у катіонній та аніонній підгратках залишається сталим, що вказує на формування твердого розчину за механізмом заміщення ( $In^{3+} + 3Tl^+P^{4+}$ ).

Стехіометричному складу сполуки  $Tl_4P_2Se_6$  відповідає кристалохімічна формула  $Tl_{4000}[P_2Se_6]_{1000}$  ( $Tl_{4000}P_{2000}Se_{6000}$ ), де на 4000 атомів

$Tl$  та 2000 атомів  $P$  (катіонна підгратка) припадає 6000 атомів  $Se$  (утворюють 1000 аніонних груп  $[P_2Se_6]$ ). При розчиненні 5 % мол.  $Tl_2Se$  у матричній структурі  $Tl_4P_2Se_6$  одержуємо склад твердого розчину, який описується кристалохімічною формулою  $Tl_{3900}P_{1900}Se_{5700}[ ]_{100}$ , де на 5800 іонів  $Tl^+ + P^{4+}$  катіонної підгратки припадає 5700 іонів  $Se^{2-}$  (утворюють 950 аніонних груп  $[P_2Se_6]$ ), що приводить до утворення в аніонній підгратці вакансій, і, відповідно, структури віднімання. При розчиненні 5 % мол.  $TlInSe_2$  кристалохімічний склад твердого розчину  $(Tl_4P_2Se_6)_{0.95}(TlInSe_2)_{0.05}$  описується формулою  $Tl_{3850}In_{50}P_{1900}Se_{5800}$

$(Tl_{3850}In_{50}[P_2Se_6]_{950}Se_{100})$ . За рахунок гетервалентного заміщення  $Tl^+ \leftrightarrow In^{3+}$  та заповнення утворених 50 вакансій по аніонній групі  $[P_2Se_6]^{4-}$  іонами  $Se^{2-}$  формування твердого розчину відбувається за механізмом заміщення як в катіонній, так і аніонній підгратках.

**ВИСНОВКИ.** За результатами ДТА, РФА, МСА та математичного моделювання вивчено характер фізико-хімічної взаємодії у квазіпотрійній системі  $Tl_2Se-TlInSe_2-Tl_4P_2Se_6$ , побудовано просторову діаграму стану та проекцію поверхні ліквідусу на концентраційний трикутник. Встановлено, що в системі відбувається нонваріантні процеси: евтектичний  $E1 - L \leftrightarrow Tl_2Se + TlInSe_2 + ltmTl_4P_2Se_6$  (47 % мол.  $Tl_2Se$ , 7 % мол.  $TlInSe_2$ , 46 % мол.  $Tl_4P_2Se_6$ , 539 K), перитектичний  $U1 - L + mtmTl_4P_2Se_6 \leftrightarrow TlInSe_2 + ltmTl_4P_2Se_6$  (38 % мол.  $Tl_2Se$ , 9 % мол.  $TlInSe_2$ , 53 % мол.  $Tl_4P_2Se_6$ , 620 K),  $U2 -$  перитектичний  $L + htmTl_4P_2Se_6 \leftrightarrow TlInSe_2 + mtmTl_4P_2Se_6$  (12 % мол.  $Tl_2Se$ , 20 % мол.  $TlInSe_2$ , 68 % мол.  $Tl_4P_2Se_6$ , 693 K). В системі утворюються граничні тверді розчини на основі вихідних компонентів (до 5–8 % мол.). Formування нових сполук не зафіковано. Кристалохімічний аналіз сполук  $Tl_2Se$ ,  $TlInSe_2$ ,  $Tl_4P_2Se_6$  показав, що вони характеризуються змішаним іонно-ковалентним типом хімічного зв’язку. При переході від бінарного  $Tl_2Se$  до тернарної сполуки  $TlInSe_2$  відбувається посилення кова-

лентної складової зв'язку In–Se, до  $Tl_4P_2Se_6$  — спостерігається протилежна зміна, зростання іонної компоненти зв'язку Tl–Se. Результати досліджень механізмів формування твердих розчинів з позицій кристалохімічних формульних складів вказують на утворення структур заміщення при взаємній розчинності тернарних сполук  $TlInSe_2$ ,  $Tl_4P_2Se_6$ . Розчинення бінарного  $Tl_2Se$  у тернарних селенідах приводить до формування твердих розчинів за механізмом заміщення та віднімання.

**КВАЗИПОТРІЙНА СИСТЕМА  $Tl_2Se-TlInSe_2-Tl_4P_2Se_6$**   
І.Е.Барчий<sup>1\*</sup>, В.А.Товт<sup>1</sup>, М.Пясецькі<sup>2</sup>, А.А.Федорчук<sup>3</sup>, А.І.Погодин<sup>1</sup>, М.І.Філєп<sup>1</sup>, І.П.Стерчо<sup>1</sup>

<sup>1</sup> Ужгородський національний університет,  
ул. Підгірна, 46, Ужгород, 88000, Україна

<sup>2</sup> Ченстоховський університет імені Яна Длугоша,  
ул. Армии Крайової, 13/15, Ченстохова,  
42200, Польща

<sup>3</sup> Львівський національний університет  
ветеринарної медицини та біотехнології,  
ул.Пекарська, 50, Львів, 79010, Україна

\* e-mail: [i\\_barchiy@ukr.net](mailto:i_barchiy@ukr.net)

Класичними методами физико-хіміческого аналіза (ДТА, РФА, МСА) і математического моделювання вперше изучено фазові равновесия в квазитройной системе  $Tl_2Se-TlInSe_2-Tl_4P_2Se_6$ , построена пространственная диаграмма состояния, проекция поверхности ликвидуса на концентрационный треугольник, установлен характер и координаты нонвариантных процессов. Показано, что система характеризуется эвтектическим типом взаимодействия с образованием граничных твердых растворов на основе исходных соединений. С кристаллохіміческих позицій рассмотрены закономерности изменения типа химической связи при переходе от  $Tl_2Se$  к тройным соединениям  $TlInSe_2$  и  $Tl_4P_2Se_6$ , механизма образования твердых растворов.

Ключевые слова: селенодифосфаты, фазовые равновесия, диаграмма состояния, кристаллическая структура, твердые растворы.

**$Tl_2Se-TlInSe_2-Tl_4P_2Se_6$  QUASITERNARY SYSTEM**  
І.Е.Барчий<sup>1</sup>, В.А.Товт<sup>1</sup>, М.Пясецькі<sup>2</sup>, А.А.Федорчук<sup>3</sup>, А.І.Погодин<sup>1</sup>, М.І.Філєп<sup>1</sup>, І.П.Стерчо<sup>1</sup>

<sup>1</sup> Uzhgorod National University, 46 Pidgirna Str.,

*Uzhgorod, 88000, Ukraine*

<sup>2</sup> J.Dlugosz University, 13/15 Armii Krajowej Str.,  
Czestochowa, 42200, Poland

<sup>3</sup> Lviv National University of Veterinary Medicine  
and Biotechnologies, 50 Pekarska Str., Lviv,  
79010, Ukraine

\* e-mail: [i\\_barchiy@ukr.net](mailto:i_barchiy@ukr.net)

Complex chalcogenide compound are widely used as working elements for semiconductor optical technology, thermal generation, solar power. Special attention is paid to compounds of the  $M_2P_2Se_6$  type ( $M$  – Ag, Cu) which due to its layer crystal structure possess promising ferroelectric, thermoelectric and electro-optical properties. Heterovalent substitutions of cations  $2M^{2+} \leftrightarrow 4M^{1+}$  in the composition of  $M_2P_2Se_6$  type compounds must leads to deformation of the crystal structure, changing in the value of the dipole moment and, accordingly, to change the electro-physical properties.

The  $Tl_2Se-In_2Se_3-P_2Se_4$  system characterized by the formation of intermediate complex compounds which melts congruently  $TlInSe_2$  (1023 K),  $Tl_4P_2Se_6$  (758 K),  $TlInP_2Se_6$  (875 K) and  $TlIn_5Se_8$  (melts incongruently  $L + In_2Se_3TlIn_5Se_8$  at 1029 K),  $In_4(P_2Se_6)_3$  (formed by syntactic reaction at 880 K). Triangulation of the  $Tl_2Se-In_2Se_3-P_2Se_4$  system was shown that then divided on secondary quasiterinary systems, one of them is  $Tl_2Se-TlInSe_2-Tl_4P_2Se_6$ .

Phase equilibria in the  $Tl_2Se-TlInSe_2-Tl_4P_2Se_6$  quasiterinary system were studied using classical methods of physicochemical analysis DTA (chromel-alumel thermocouple, with an accuracy of 5 K), XRD (DRON-4-13 diffractometer,  $CuK_{\alpha}$  radiation, Ni filter, Guinier Huber G670 diffractometer,  $CuK_{\alpha 1}$  radiation), MSA (metallographic microscope Lomo Metam R1) in combination with the simplex method of mathematical modeling of phase equilibria in multi-component systems. Crystal structure calculation was carried out with program WinCSD.

Investigation of physical-chemical interaction allowed to constructed perspective view of phase state diagram and liquidus surface projection of the  $Tl_2Se-TlInSe_2-Tl_4P_2Se_6$  ternary system. In the ternary system formed the boundary solid solution:  $\alpha$  – on the basis of  $Tl_2Se$ ,  $\beta$  – on the basis of  $TlInSe_2$ ,  $\gamma, \delta, \varepsilon$  – on the basis of  $ltm$ -,  $mtm$ - and  $htm$ - $Tl_4P_2Se_6$  ( $ltm$ -,  $mtm$ -,  $htm$  – low, middle and high temperature modification, respectively). The liquidus of the ternary system consists of primary crystallization areas:  $Tl_2Se-e1-E1-e2-Tl_2Se$  ( $\alpha$  phase),  $TlInSe_2-e3-U2-U1-E1-TlInSe_2$  ( $\beta$  phase),  $m1-U1-E1-e2-m1$  ( $\gamma$  phase),  $m2-U2-U1-m1-m2$  ( $\delta$  phase) and  $Tl_4P_2Se_6-e5-U2-m2-Tl_4P_2Se_6$  ( $\varepsilon$  phase). The  $Tl_2Se-TlInSe_2-$

$\text{Tl}_4\text{P}_2\text{Se}_6$  quasiterinary system is characterized by the processes: monovariant eutectic  $\text{L} \leftrightarrow \text{htmTl}_4\text{P}_2\text{Se}_6 + \text{TlInSe}_2$  (e5-U2, 776–693 K), monovariant eutectic  $\text{L} \leftrightarrow \text{Tl}_2\text{Se} + \text{TlInSe}_2$  (e1-E1, 614–539 K), monovariant eutectic  $\text{L} \leftrightarrow \text{Tl}_2\text{Se} + \text{ltmTl}_4\text{P}_2\text{Se}_6$  (e2-E1, 610–539 K); monovariant peritectic  $\text{L} + \text{mtmTl}_4\text{P}_2\text{Se}_6 \leftrightarrow \text{ltmTl}_4\text{P}_2\text{Se}_6$  (m1-U1, 640–620 K); monovariant peritectic  $\text{L} + \text{htmTl}_4\text{P}_2\text{Se}_6 \leftrightarrow \text{mtmTl}_4\text{P}_2\text{Se}_6$  (m2-U2, 747–693 K); monovariant peritectic  $\text{L} + \text{mtmTl}_4\text{P}_2\text{Se}_6 \leftrightarrow \text{TlInSe}_2$  (U2-U1, 693–620 K); monovariant peritectic  $\text{L} + \text{ltmTl}_4\text{P}_2\text{Se}_6 \leftrightarrow \text{TlInSe}_2$  (U1-E1, 620–539 K). Lines of the monovariant equilibria are crossed in three point: U2 — invariant peritectic process  $\text{L} + \text{htmTl}_4\text{P}_2\text{Se}_6 \leftrightarrow \text{TlInSe}_2 + \text{mtmTl}_4\text{P}_2\text{Se}_6$  (12 % mol.  $\text{Tl}_2\text{Se}$ , 20 % mol.  $\text{TlInSe}_2$ , 68 % mol.  $\text{Tl}_4\text{P}_2\text{Se}_6$ , 693 K), U1 — invariant peritectic process  $\text{L} + \text{mtmTl}_4\text{P}_2\text{Se}_6 \leftrightarrow \text{TlInSe}_2 + \text{ltmTl}_4\text{P}_2\text{Se}_6$  (38 % mol.  $\text{Tl}_2\text{Se}$ , 9 % mol.  $\text{TlInSe}_2$ , 53 % mol.  $\text{Tl}_4\text{P}_2\text{Se}_6$ , 620 K), E1 — invariant eutectic process  $\text{L} \leftrightarrow \text{Tl}_2\text{Se} + \text{TlInSe}_2 + \text{ltmTl}_4\text{P}_2\text{Se}_6$  (47 % mol.  $\text{Tl}_2\text{Se}$ , 7 % mol.  $\text{TlInSe}_2$ , 46 % mol.  $\text{Tl}_4\text{P}_2\text{Se}_6$ , 539 K). New complex compounds were not observed in the ternary system. Limited solid solutions on the basis of  $\text{TlInSe}_2$ ,  $\text{Tl}_4\text{P}_2\text{Se}_6$  initial compounds are not up to 5–8 % mol.

Crystal-structure studies of  $\text{Tl}_2\text{Se}$ ,  $\text{TlInSe}_2$  and  $\text{Tl}_4\text{P}_2\text{Se}_6$  complex chalcogenides were carried out by a powder method, refinement of the structural parameters — by the Rietveld method. The lattice parameters are:  $\text{Tl}_2\text{Se}$  —  $P4/n$ ,  $a = 8.540$ ,  $c = 12.380$  Å;  $\text{TlInSe}_2$  —  $I4/mcm$ ,  $a = 8.064$ ,  $c = 6.833$  Å,  $\text{Tl}_4\text{P}_2\text{Se}_6$  —  $P121/c1$ ,  $a = 12.239$ ,  $b = 9.055$ ,  $c = 12.328$  Å,  $\beta = 98.83$ . Crystal-chemical analysis of the compounds showed that they are characterized by a mixed ion-covalent type of chemical bond. During the transition from the binary  $\text{Tl}_2\text{Se}$  to  $\text{TlInSe}_2$  ternary compound the covalent component of the In–Se bond is enhanced, the opposite change is observed for  $\text{Tl}_4\text{P}_2\text{Se}_6$ , an increase in the ion component of the Tl–Se bond. The study of the mechanisms of formation of solid solutions showed that with the reciprocal solubility of the  $\text{TlInSe}_2$ ,  $\text{Tl}_4\text{P}_2\text{Se}_6$  ternary compounds characterized by the formation of substitution structure, the dissolution of  $\text{Tl}_2\text{Se}$  in ternary selenides follows the substitution and subtraction mechanism.

К e y w o r d s: selenodiphosphate, phase diagrams, state diagrams, crystal structure, solid solutions.

## ЛІТЕРАТУРА

- Kanatzidis M.G. The Role of Solid State Chemistry in the Discovery of New Thermoelectric Materials // Semiconductors and Semimetals / Ed. Terry M. Tritt. -San Diego, San Francisco, N.Y.: Academ. Press, 2001.
- Шевельков А.В. Химический аспект в создании термоэлектрических материалов // Успехи химии. -2008. -77. -С. 3–21.
- McGuire M.A., Reynolds T.K., DiSalvo F.J. Exploring Thallium Compounds as Thermoelectric Materials: Seventeen New Thallium Chalcogenides // Chem. Mater. -2005. -17. -P. 2875–2884. DOI: 10.1021/cm050412c.
- Barchij I.E., Sabov M.Yu, El-Naggar A.M. et al.  $\text{Tl}_4\text{SnS}_3$ ,  $\text{Tl}_4\text{SnSe}_3$  and  $\text{Tl}_4\text{SnTe}_3$  crystals as novel IR induced potoelectronic materials // J. Mater. Sci.: Mater. Electron. -2016. -27. -P. 3901–3905. DOI: 10.1007/s10854-015-4240-4.
- Reshak A.H., Alahmed Z.A., Barchij I. et al. The influence of replacing Se by Te on electronic structure and optical properties of  $\text{Tl}_4\text{PbX}_3$  (X = Se or Te): Experimental and Theoretical investigations // RSC Adv. -2015. -5. -P. 1–9. DOI: 0.1039/C5RA20956K.
- Israel R., De Gelder R., Smits J.M.M. et al. Crystal structures of di-tin-hexa(seleno)hypodiphosphate,  $\text{Sn}_2\text{P}_2\text{Se}_6$ , in the ferroelectric and paraelectric phase. // Z. Kristallogr. -1998. -213. -P. 34–41. DOI: <https://doi.org/10.1524/zkri.1998.213.1.34>.
- Kanatzidis M.G. New directions in synthetic solid state chemistry: chalcophosphate salt fluxes for discovery of new multinary solids // Solid State Mat. Sci. -1997. -2. -P. 139, 149. DOI: [https://doi.org/10.1016/S1359-0286\(97\)80058-7](https://doi.org/10.1016/S1359-0286(97)80058-7).
- Chung I., Karst A.L., Weliky D.P., Kanatzidis M.G.  $[\text{P}_6\text{Se}_{12}]^4$ : A Phosphorus-Rich Selenophosphate with Low-Valent P Centers // Inorg. Chem. -2006. -45. -P. 2785–2787. DOI: 10.1021/ic0601135.
- Galdamez A., Manriquez V., Kasaneva J., Avila R.E. Synthesis, characterization and electrical properties of quaternary selenodiphosphates:  $\text{AMP}_2\text{Se}_6$  with A = Cu, Ag and M = Bi, Sb // Mat. Res. Bull. -2003. -38. -P. 1063–1072. DOI: 10.1016/S0025-5408(03)00068-0.
- Pfeiff R., Knipe R. Quaternary selenodiphosphates (IV):  $\text{M(I)M(III)[P}_2\text{Se}_6]$ , ( $\text{M(I)} = \text{Cu, Ag}$ ;  $\text{M(III)} = \text{Cr, Al, Ga, In}$ ) // J. Alloys Comp. -1992. -186. -P. 111–133. DOI: [https://doi.org/10.1016/0925-8388\(92\)90626-K](https://doi.org/10.1016/0925-8388(92)90626-K).
- Gave M.A., Bilc D., Mahanti S.D. et al. On the lamellar compounds  $\text{CuBiP}_2\text{Se}_6$ ,  $\text{AgBiP}_2\text{Se}_6$  and  $\text{AgBiP}_2\text{S}_6$ . antiferroelectric phase transitions due to cooperative  $\text{Cu}^+$  and  $\text{Bi}^{3+}$  ion motion // Inorg. Chem. -2005. -44. -P. 5293–5303. DOI: 10.1021/ic050357+.
- Cajipe V.B., Ravez J., Maisonneuve V. et al. Copper ordering in lamellar  $\text{CuMP}_2\text{S}_6$  ( $\text{M} = \text{Cr, In}$ ) Transition to an antiferrielectric or ferrielectric

- phase // Ferroelectrics. -1996. -**185**. -P. 135–138. DOI: <https://doi.org/10.1080/00150199608210497>.
13. Bourdon X., Maisonneuve V., Cajipe V.B. et al. Copper sublattice ordering in layered CuMP<sub>2</sub>S<sub>6</sub> (M = Cr, In) // J. Alloys Comp. -1999. -**283**. -P. 122–127. DOI: [https://doi.org/10.1016/S0925-8388\(98\)00899-8](https://doi.org/10.1016/S0925-8388(98)00899-8).
14. Mucha I. Phase diagram for the quasi-binary thallium (I) selenide–indium (III) selenide system // Thermochim. Acta. -2012. -**550**. -P. 1–4. DOI: 10.1016/j.tca.2012.09.028.
15. Voroshilov Y.V., Gebesh V.Y., Potorii M.V. Phase equilibria in the system In–P–Se and crystal structure of  $\beta$ -In<sub>4</sub>(P<sub>2</sub>Se<sub>6</sub>)<sub>3</sub> // Inorg. Mater. -1991. -**27**. -P. 2141–2144.
16. Тоєм B.O., Барчій I.C., П'ясецькі M. та ін. Тріангуляція квазіпотрійної системи Tl<sub>2</sub>Se–In<sub>2</sub>Se<sub>3</sub>–“P<sub>2</sub>Se<sub>4</sub>” // Наук. вісн. Ужгород. ун-ту. Сер. Хімія. -2016. -**2** (**36**). -C. 14–17.
17. Akselrud L., Grin Yu. WinCSD: software package for crystallographic calculations (Ver. 4) // J. Appl. Crystallogr. -2014. -**47**. -P. 803–805. DOI: 10.1107/S1600576714001058.
18. Барчій I.E. Математичне моделювання фазових рівноваг у квазітернарній системі Tl<sub>2</sub>S–Tl<sub>2</sub>Se–Tl<sub>5</sub>Se<sub>2</sub>I // Укр. хим. журн. -2001. -**67** (**11**). -C. 18–23.
19. Barchiy I.E., Tatzkar A.R., Fedorchuk A.O., Plucinski K. // J. Alloys Comp. -2016. -**671**. -P. 109–113. DOI: <https://doi.org/10.1016/j.jallcom.2016.02.078>.
20. Тоєм B.O., Барчій I.C., Федорчук A.O. та ін. Взаємодія в системі TlInSe<sub>2</sub>–Tl<sub>4</sub>P<sub>2</sub>Se<sub>6</sub> // Наук. вісн. Ужгород. ун-ту. Сер. Хімія. -2017. -**1** (**37**). -C. 55–58.
21. Brockner W., Ohse L., Patzmann U. et al. Kristallstruktur und Schwingungsspektrum des Tetra-Thallium-Hexaselenidohypodiphosphates Tl<sub>4</sub>P<sub>2</sub>Se<sub>6</sub> // Z. Naturforsch. -1985. -**40a**. -P. 1248–1252.
22. Banys J., Wondre F.R., Guseinov G. Powder diffraction study of TlGaTe<sub>2</sub>, TlInTe<sub>2</sub> and TlInSe<sub>2</sub> // Mater. Lett. -1990. -**9**. -C. 269–274. DOI: [https://doi.org/10.1016/0167-577X\(90\)90059-U](https://doi.org/10.1016/0167-577X(90)90059-U).
23. Man L.I., Parmon V.S., Imamov R.M., Avilov A.S. The electron diffraction determination on the structure of the tetragonal phase Tl<sub>5</sub>Se<sub>3</sub> // Kristallografiya. -1980. -**25**. -P. 1070–1072.
24. Barchii I.E., Tovt V.A., Piasecki M. et al. Physicochemical Interaction in the TlInSe<sub>2</sub>–TlInP<sub>2</sub>Se<sub>6</sub> System. // Rus. J. Inorg. Chem. -2018. -**63** (**4**). -P. 537–542. DOI: 10.1134/S0036023618040034.
25. Баца́нов С.С. Экспериментальные основы структурной химии. -М.: Изд-во стандартов, 1986.
26. Ормонт Б.Ф. Введение в физическую химию и кристаллохимию полупроводников. -М.: Высш. школа, 1982.

## REFERENCES

- Kanatzidis M.G. The Role of Solid State Chemistry in the Discovery of New Thermoelectric Materials. In: Terry M. Tritt (Eds.), *Semiconductors and Semimetals*. (San Diego, San Francisco, N.Y.: Academ. Press, 2001).
- Shevelkov A.V. Chemical aspects of creation of thermoelectric materials. *Usp. Khim.* 2008. **77**: 867.
- McGuire M.A., Reynolds T.K., DiSalvo F.J. Exploring Thallium Compounds as Thermoelectric Materials: Seventeen New Thallium Chalcogenides. *Chem. Mater.* 2005. **17**: 2875. DOI: 10.1021/cm050412c
- Barchij I.E., Sabov M.Yu, El-Naggar A.M., Al-Zayed N. S., Albassam A.A., Fedorchuk A.O., Kityk I.V. Tl<sub>4</sub>SnS<sub>3</sub>, Tl<sub>4</sub>SnSe<sub>3</sub> and Tl<sub>4</sub>SnTe<sub>3</sub> crystals as novel IR induced optoelectronic materials. *J. Mater. Sci.: Mater. Electron.* 2016. **27**: 3901. DOI: 10.1007/s10854-015-4240-4
- Reshak A.H., Alahmed Z.A., Barchij I., Sabov M., Plucinski K.J., Kityk I.V., Fedorchuk A.O. The influence of replacing Se by Te on electronic structure and optical properties of Tl<sub>4</sub>PbX<sub>3</sub> (X = Se or Te): Experimental and Theoretical investigations. *RSC Adv.* 2015. **5**: 1. DOI: 0.1039/C5RA20956K
- Israel R., De Gelder R., Smits J.M.M., Beurskens P.T., Eijt S.W.H., Rasing T.H., Van Kampen H., Maior M.M., Motrya S.F. Crystal structures of di-tin-hexa(seleno)hypodiphosphate, Sn<sub>2</sub>P<sub>2</sub>Se<sub>6</sub>, in the ferroelectric and paraelectric phase. *Z. Kristallogr.* 1998. **213**: 34. DOI: <https://doi.org/10.1524/zkri.1998.213.1.34>
- Kanatzidis M.G. New directions in synthetic solid state chemistry: chalcophosphate salt fluxes for discovery of new multinary solids. *Solid State Mat. Sci.* 1997. **2**: 139. DOI: [https://doi.org/10.1016/S1359-0286\(97\)80058-7](https://doi.org/10.1016/S1359-0286(97)80058-7)
- Chung I., Karst A.L., Weliky D.P. , Kanatzidis M.G. [P<sub>6</sub>Se<sub>12</sub>]<sup>4-</sup>: A Phosphorus-Rich Selenophosphate with Low-Valent P Centers. *Inorg. Chem.* 2006. **45**: 2785. DOI: 10.1021/ic0601135
- Galdamez A., Manriquez V., Kasaneva J., Avila R.E. Synthesis, characterization and electrical properties of quaternary selenodiphosphates: AMP<sub>2</sub>Se<sub>6</sub> with A = Cu, Ag and M = Bi, Sb. *Mat. Res. Bull.* 2003. **38**: 1063. DOI: 10.1016/S0025-5408(03)00068-0
- Pfeiff R., Kniep R. Quaternary selenodiphosphates(IV): M(I)M(III)[P<sub>2</sub>Se<sub>6</sub>], (M(I)) = Cu, Ag;

- M(III) = Cr, Al, Ga, In). *J. Alloys Comp.* 1992. **186**: 111. DOI: [https://doi.org/10.1016/0925-8388\(92\)90626-K](https://doi.org/10.1016/0925-8388(92)90626-K)
11. Gave M.A., Bilc D., Mahanti S.D., Breshears J.D., Kanatzidis M.G.: On the lamellar compounds CuBiP<sub>2</sub>Se<sub>6</sub>, AgBiP<sub>2</sub>Se<sub>6</sub> and AgBiP<sub>2</sub>S<sub>6</sub> anti-ferroelectric phase transitions due to cooperative Cu<sup>+</sup> and Bi<sup>3+</sup> ion motion. *Inorg. Chem.* 2005. **44**: 5293. DOI: 10.1021/ic050357+
  12. Cajipe V.B., Ravez J., Maisonneuve V., Simon A., Payen C., Von Der Muhll R., Fischer J.E. Copper ordering in lamellar CuMP<sub>2</sub>S<sub>6</sub> (M = Cr, In) Transition to an antiferielectric or ferielectric phase. *Ferroelectrics.* 1996. **185**: 135. DOI: <https://doi.org/10.1080/00150199608210497>
  13. Bourdon X., Maisonneuve V., Cajipe V.B., Payen C., Ravez J., Fischer J.E. Cupper sublattice ordering in layered CuMP<sub>2</sub>S<sub>6</sub> (M = Cr, In). *J. Alloys Comp.* 1999. **283**: 122. DOI: [https://doi.org/10.1016/S0925-8388\(98\)00899-8](https://doi.org/10.1016/S0925-8388(98)00899-8)
  14. Mucha I. Phase diagram for the quasi-binary thallium (I) selenide–indium (III) selenide system. *Thermochimica Acta.* 2012. **550**: 1. DOI: 10.1016/j.tca.2012.09.028
  15. Voroshilov Y.V., Gebesh V.Y., Potorii M.V. Phase equilibria in the system In–P–Se and crystal structure of β-In<sub>4</sub>(P<sub>2</sub>Se<sub>6</sub>)<sub>3</sub>. *Inorg. Mater.* 1991. **27**: 2141.
  16. Tovt V.O., Barchij I.E., Piasecki M., Kityk I.V., Fedorchuk A.O., Solomon A.M., Pogodin A.I. Triangulation of the Tl<sub>2</sub>Se–In<sub>2</sub>Se<sub>3</sub>–“P<sub>2</sub>Se<sub>4</sub>” quasiterinary system. *Nauch. Vestn. Uzhgorod. Univ. (Ser. Khim.).* 2016. **2**(36): 14. [in Ukrainian].
  17. Akselrud L., Grin Yu.: WinCSD: software package for crystallographic calculations (Ver.4). *J. Appl. Crystallogr.* 2014. **47**: 803. DOI: 10.1107/S1600576714001058
  18. Barchij I.E. Mathematical design of phase equilibria in the Tl<sub>2</sub>S–Tl<sub>2</sub>Se–Tl<sub>5</sub>Se<sub>2</sub>I quasiterinary system. *Ukr. Khim. Zh.* 2001. **67**(11):18. [in Ukrainian].
  19. Barchiy I.E., Tatzkar A.R., Fedorchuk A.O., Plucinski K. Phase diagrams of novel Tl<sub>4</sub>SnSe<sub>4</sub>–TlSbSe<sub>2</sub>–Tl<sub>2</sub>SnSe<sub>3</sub> quasi-ternary system following DTA and X-ray diffraction. *J. Alloys Comp.* 2016. **671**: 109. DOI: <https://doi.org/10.1016/j.jallcom.2016.02.078>
  20. Tovt V.O., Barchij I.E., Fedorchuk A.O., Piasecki M., Kityk I.V., Solomon A.M., Pogodin A.I. Interaction in the TlInSe<sub>2</sub>–Tl<sub>4</sub>P<sub>2</sub>Se<sub>6</sub> system. *Nauch. Vestn. Uzhgorod. Univ. (Ser. Khim.).* 2017. **1**(37): 55. [in Ukrainian].
  21. Brockner W., Ohse L., Patzmann U., Eisenmann B., Schafer H. Kristallstruktur und Schwingungsspektrum des Tetra-Thallium-Hexaselenido-hypodiphosphates Tl<sub>4</sub>P<sub>2</sub>Se<sub>6</sub>. *Z. Naturforsch.* 1985. **40a**: 1248.
  22. Banys J., Wondre F.R., Guseinov G. Powder diffraction study of TlGaTe<sub>2</sub>, TlInTe<sub>2</sub> and TlInSe<sub>2</sub>. *Mater. Lett.* 1990. **9**: 269. DOI: [https://doi.org/10.1016/0167-577X\(90\)90059-U](https://doi.org/10.1016/0167-577X(90)90059-U)
  23. Man L.I., Parmon V.S., Imamov R.M., Avilov A.S. The electron diffraction determination on the structure of the tetragonal phase Tl<sub>5</sub>Se<sub>3</sub>. *Kristallografiya.* 1980. **25**: 1070.
  24. Barchii I.E., Tovt V.A., Piasecki M., Fedorchuk A.A., Solomon A.M., Pogodin A.I. Physicochemical Interaction in the TlInSe<sub>2</sub>–TlInP<sub>2</sub>Se<sub>6</sub> System. *Rus. J. Inorg. Chem.* 2018. **63**(4): 537. DOI: 10.1134/S0036023618040034
  25. Batsanov S.S. *Experimental basics of structural chemistry.* (Moscow: Standards Publishing, 1986). [in Russian].
  26. Ormont B.F. *Introduction to the physical chemistry and crystalchemistry of semiconductors.* (Moscow: High School, 1982). [in Russian].

Надійшла 02.04.2019